

К. В. Аврамов¹, М. В. Чернобрылко¹, Т. Я. Батутина², П. Г. Дегтяренко², А. М. Тонконоженко²

¹ Институт проблем машиностроения им. А. Н. Подгорного Национальной академии наук Украины, Харьков

² Государственное предприятие «Конструкторское бюро «Южное» им. М. К. Янгеля», Днепропетровск

ДИНАМИЧЕСКАЯ НЕУСТОЙЧИВОСТЬ ОБТЕКАТЕЛЕЙ РАКЕТ

Рассматриваются аэроупругие колебания обтекателей ракет-носителей, которые являются параболическими или коническими оболочками. Такие оболочки усиливаются изнутри стрингерами и шпангоутами. Исследуется динамическая неустойчивость таких конструкций в сверхзвуковом газовом потоке, который описывается поршневым теорией.

Ключевые слова: колебания обтекателя, коническая оболочка со шпангоутами, сверхзвуковой газовый поток, пространственная форма потери устойчивости.

ВВЕДЕНИЕ

Рассматриваются обтекатели ракет-носителей, которые защищают полезный груз при выводе его на орбиту. В процессе полета ракеты обтекатели взаимодействуют со сверхзвуковым газовым потоком. Эти конструкции моделируются тонкими оболочками, которые могут быть параболической или конической формы. Они соединяются с цилиндрической оболочкой. Внутри такие конструкции часто усиливаются стрингерами и шпангоутами.

Свободные колебания и динамическая неустойчивость параболических обтекателей ракет-носителей рассматривается в работах [6, 7, 11]. Оребрению тонкостенных конструкций посвящены статьи [3, 4].

Ниже коротко представлены результаты исследований динамической неустойчивости конических оребренных шпангоутами обтекателей ракет-носителей в сверхзвуковом газовом потоке.

Из экспериментальных исследований следует, что при скоростях полета ракеты немного больше одного Маха наблюдаются интенсивные ав-

токолебания обтекателей. В отдельных случаях такие колебания могут привести к разрушению конструкции или к поломкам полезного груза.

ПОСТАНОВКА ЗАДАЧИ И МЕТОДЫ ИССЛЕДОВАНИЯ

Обтекатель ракеты-носителя моделируется тонкой оболочкой. Поэтому сдвиги и инерция вращения не учитываются. Напряжения и деформации в оболочке предполагаются малыми, поэтому они удовлетворяют закону Гука. Предполагается, что напряженно-деформированное состояние оболочки описывается гипотезами Киргофа — Лява. Коническая оболочка высотой H и радиусом основания R является изотропной и тонкой (рис. 1). Оболочка имеет постоянную толщину h . Предполагается, что в основании оболочка жестко закреплена.

Образующая конической оболочки имеет ось z угол α . Изнутри оболочка усиливается N кольцами, которые располагаются параллельно основанию оболочки на одинаковом расстоянии друг относительно друга. Предполагается, что все кольца изготовлены из одинакового материала и имеют одинаковые поперечные сечения. Кольца изгибаются в своей плоскости и в перпендикулярном направлении. Более того, они

испытывают кручение и растяжение-сжатие. При колебаниях обшивки кольца совершают изгибно-изгибно-крутильно-продольные колебания [8].

Свяжем с оболочкой криволинейную систему координат (s, ϕ, ξ) (рис. 1). Коэффициенты Лямэ принимают следующие значения: $A_1 = 1$, $A_2 = s \cdot \sin \alpha$. Радиусы кривизн координатных линий s и ϕ таковы: $R_s = +\infty$, $R_\phi = s \cdot \operatorname{tg} \alpha$. Шпангоуты крепятся в точках со следующими значениями координат образующей:

$$s_j^* = jH / [(N+1)\cos \alpha], \quad j = \overline{1, N}.$$

Проекции перемещений точек оболочки на направления s , ϕ и ξ обозначим $u(s, \phi, t)$, $v(s, \phi, t)$ и $w(s, \phi, t)$ соответственно.

Колебания оболочки опишем системой обыкновенных дифференциальных уравнений относительно обобщенных координат. Для вывода этих уравнений воспользуемся методом заданных форм [2], который использует уравнения Лагранжа.

Потенциальная энергия конструкции представляется в виде суммы потенциальной энергии конической оболочки Π_1 и потенциальных энергий всех шпангоутов $\Pi_2^{(j)}$:

$$\Pi = \Pi_1 + \sum_{j=1}^N \Pi_2^{(j)}.$$

Потенциальная энергия конической обшивки принимает вид

$$\begin{aligned} \Pi_1 = & D_1 \int_0^{2\pi} \int_{0^+}^L \left[(E_1 + E_2)^2 - \kappa \left(E_1 E_2 - \frac{\Omega_1^2}{4} \right) \right] \cdot s ds d\phi + \\ & + D_2 \int_0^{2\pi} \int_{0^+}^L \left[(K_1 + K_2)^2 - \kappa (K_1 K_2 - \Omega_2^2) \right] \cdot s ds d\phi + \\ & + D_3 \int_0^{2\pi} \int_{0^+}^L \left\{ E_1 K_1 + E_2 K_2 + \nu (E_1 K_2 + E_2 K_1) + \right. \\ & \left. + (1 - \nu) \Omega_1 \Omega_2 \right\} ds d\phi. \end{aligned} \quad (1)$$

Здесь

$$\begin{aligned} D_1 = & \frac{Eh \cdot \sin \alpha}{2(1 - \nu^2)}, \quad D_2 = \frac{Eh^3 \sin \alpha}{24(1 - \nu^2)}, \\ D_3 = & \frac{Eh^3 \cos \alpha}{12(1 - \nu^2)}, \quad \kappa = 2(1 - \nu), \end{aligned}$$

E — модуль Юнга, ν — коэффициент Пуассона,

$$\begin{aligned} E_1 = & \frac{\partial u}{\partial s}, \quad K_1 = -\frac{\partial^2 w}{\partial s^2}, \\ E_2 = & \frac{1}{\operatorname{stg} \alpha} \left(\frac{\partial v}{\partial \phi} + u \operatorname{tg} \alpha + w \right), \\ K_2 = & \left(\frac{1}{s^2 \operatorname{tg}^2 \alpha} \left[\frac{\partial v}{\partial \phi} - \frac{\partial^2 w}{\partial \phi^2} \right] - \frac{\partial w}{s \partial s} \right), \\ \Omega_1 = & \frac{\partial v}{\partial s} - \frac{v}{s} + \frac{\partial u}{\partial \phi} \cdot \frac{1}{\operatorname{stg} \alpha}. \end{aligned}$$

Свяжем со шпангоутом локальную систему координат $(\tilde{x}_j, \tilde{y}_j, \tilde{z}_j)$; ось \tilde{y}_j располагается вдоль продольной координаты шпангоута; ось \tilde{z}_j направлена вдоль образующей конической оболочки; ось \tilde{x}_j располагается так, что $(\tilde{x}_j, \tilde{y}_j, \tilde{z}_j)$ образуют правую тройку векторов. Изгиб шпангоута в двух плоскостях описывается перемещениями $u_j(\tilde{y}_j, t)$ и $w_j(\tilde{y}_j, t)$. Растяжение-сжатие шпангоута описывается перемещениями $v_j(\tilde{y}_j, t)$, а кручение моделируется функцией угла поворота $\phi_j(\tilde{y}_j, t)$. Потенциальную энергию j -го шпангоута представим в следующем виде:

$$\begin{aligned} \Pi_2^{(j)} = & \frac{1}{2} \oint \left(E_j F_j \left(\frac{\partial v_j}{\partial \tilde{y}_j} - \frac{w_j}{R_j} \right)^2 + \right. \\ & + E_j J_{z_j} \left(\frac{\partial^2 u_j}{\partial \tilde{y}_j^2} + \frac{\phi_j}{R_j} \right)^2 + \\ & + E_j J_{x_j} \left(\frac{\partial^2 w_j}{\partial \tilde{y}_j^2} + \frac{w_j}{R_j^2} \right)^2 + \\ & \left. + G_j J_j \left(\frac{\partial u_j}{R_j \partial \tilde{y}_j} - \frac{\partial \phi_j}{\partial \tilde{y}_j} \right)^2 \right) d\tilde{y}_j, \end{aligned} \quad (2)$$

где E_j, G_j — модуль Юнга и модуль сдвига j -го шпангоута, F_j — площадь поперечного сечения

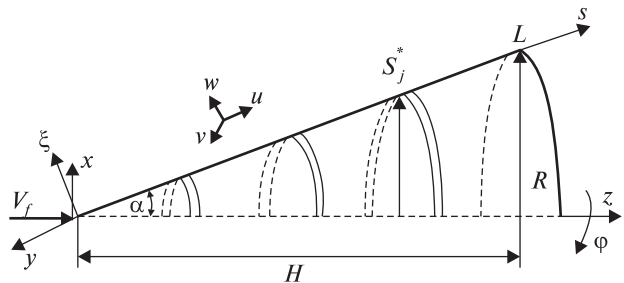


Рис. 1. Срединная поверхность конической оболочки со шпангоутами

шпангоута, J_{z_j}, J_{x_j}, J_j — моменты инерции поперечных сечений шпангоута, R_j — радиус кривизны срединной линии j -го шпангоута.

Одна из сторон шпангоута жестко связана с внутренней поверхностью оболочки. Эта связь выражается соотношениями между обобщенными перемещениями оболочки и шпангоутов, которые представлены в работе [3]. Эти соотношения позволяют представить потенциальную энергию шпангоута через перемещения оболочки. Поэтому потенциальную энергию всей конструкции удастся выразить через компоненты перемещений оболочки.

Кинетическая энергия конструкции состоит из кинетической энергии оболочки T_1 и кинетических энергий всех шпангоутов $T_2^{(j)}$:

$$T = T_1 + \sum_{j=1}^N T_2^{(j)},$$

где

$$T_1 = \frac{\rho h}{2} \int_0^{2\pi} \int_{0^+}^L s[\dot{u}^2 + \dot{v}^2 + \dot{w}^2] \sin \alpha ds d\phi,$$

ρ — плотность материала оболочки.

Оболочка снаружи обтекается газовым потоком. На значительном удалении от оболочки поток движется в положительном направлении оси z со сверхзвуковой скоростью V_f . В непосредственной близости от оболочки наблюдаются возмущения в параметрах потока. Используя соотношения поршневой теории [5, 7], виртуальную работу аэродинамического давления δA , действующего на поверхность оболочки, представим так:

$$\frac{\sqrt{M^2 - 1}}{V_f \rho_f} \delta A = - \int_0^{2\pi} \int_{0^+}^L \left(V_f \frac{\partial w}{\partial s} + \frac{M^2 - 2}{M^2 - 1} \dot{w} \right) s \sin \alpha \cdot \delta w ds d\phi, \quad (3)$$

где M — число Маха, ρ_f — плотность газа.

Динамику оболочки опишем моделью с конечным числом степеней свободы. Для вывода этой модели воспользуемся методом заданных форм. Компоненты перемещений оболочки разложим в ряд по собственным формам колебаний $U_n(s, \phi)$, $V_n(s, \phi)$, $W_n(s, \phi)$ так:

$$u(s, \phi, t) = \sum_{n=1}^{N_u} q_n^{(u)}(t) U_n(s, \phi);$$

$$v(s, \phi, t) = \sum_{n=1}^{N_v} q_n^{(v)}(t) V_n(s, \phi); \quad (4)$$

$$w(s, \phi, t) = \sum_{n=1}^{N_w} q_n^{(w)}(t) W_n(s, \phi),$$

где

$$q^{(u)} = [q_1^{(u)}, \dots, q_{N_u}^{(u)}],$$

$$q^{(v)} = [q_1^{(v)}, \dots, q_{N_v}^{(v)}],$$

$$q^{(w)} = [q_1^{(w)}, \dots, q_{N_w}^{(w)}]$$

— векторы обобщенных координат. Разложения для перемещений (4) вводятся в кинетическую и потенциальную энергии конструкции и производятся необходимые интегрирования. В результате кинетическая и потенциальная энергии представляются в виде квадратичных форм относительно обобщенных координат и обобщенных скоростей. Тогда уравнения Лагранжа системы можно представить в виде

$$M_{11} \ddot{q}^{(u)} + K_{11} q^{(u)} + K_{12} q^{(v)} + K_{13} q^{(w)} = 0,$$

$$M_{22} \ddot{q}^{(v)} + K_{21} q^{(u)} + K_{22} q^{(v)} + K_{23} q^{(w)} = 0,$$

$$M_{33} \ddot{q}^{(w)} + K_{31} q^{(u)} + K_{32} q^{(v)} + K_{33} q^{(w)} + K^{(w)} q^{(w)} + C^{(w)} \dot{q}^{(w)} = 0,$$

где M_{ii} — матрицы масс, которые являются диагональными, K_{ii} — матрицы жесткости, $C^{(w)}$ — матрица аэродинамического демпфирования, $K^{(w)}$ — матрица аэродинамической жесткости.

Для анализа динамической неустойчивости конструкции рассчитывались характеристические показатели [1, 9]. Они находились при различных значениях чисел Маха. Определялся диапазон чисел Маха, где наблюдается динамическая неустойчивость.

Особое внимание в работе уделялось исследованию формы оболочки при потере ею динамической устойчивости в сверхзвуковом газовом потоке. Для этого был разработан подход, описанный в работе [7]. С помощью этого подхода численно исследовалась форма потери устойчивости конструкции.

ЧИСЛЕННОЕ МОДЕЛИРОВАНИЕ

Рассмотрим четыре варианта конструкции. Все конструкции состоят из конической оболочки высотой $H = 5.24$ м, радиусом $R = 1.95$ м и тол-

щиной $h = 2$ мм с механическими характеристиками материала: $E = 72$ ГПа, $\rho = 2770$ кг/м³, $\nu = 0.3$. Первая конструкция представляет собой коническую оболочку без шпангоутов. Вторая, третья и четвертая конструкции содержат три, пять и семь шпангоутов соответственно. Площадь поперечных сечений шпангоутов $F_j = 570$ мм². Расстояния между шпангоутами выбирались равными между собой и краями оболочки. Механические характеристики материала ребер не отличались от характеристик оболочки.

Проводились исследования собственных частот колебаний конструкций с различным числом шпангоутов методом Релея — Ритца. Полученные результаты сравнивались с данными программного комплекса ANSYS. Максимальная относительная погрешность не превышала 3 %.

На рис. 2 показаны графики собственных частот колебаний конструкций в зависимости от их номера n .

В результате численного анализа было установлено, что все четыре конструкции имеют одинаковый диапазон динамической неустойчивости для значений $M : 1.01 \leq M \leq 1.414$. При $M > 1.414$ состояние равновесия конструкции устойчиво.

Численно определялась частота начала автоколебаний Ω_1 с помощью подхода, предложенного в работе [7]. Фактически находится частота, с которой колеблется конструкция при потере устойчивости. В таблице представлены результаты расчетов для моделей оболочек с 9, 12, 15, 18 и 21 степенями свободы. Как видно, для четырех рассматриваемых конструкций сходимость полученных результатов наблюдается при 15 степенях свободы.

Исследовались формы оболочки при начале автоколебаний конструкции в сверхзвуковом га-

Значения критических частот автоколебаний Ω_1 , Гц

N_w	Без ребер	3 ребра	5 ребер	7 ребер
9	63.180	65.623	57.841	58.256
12	57.113	58.938	60.113	60.147
15	56.657	60.007	60.532	60.734
18	56.392	60.319	61.096	61.045

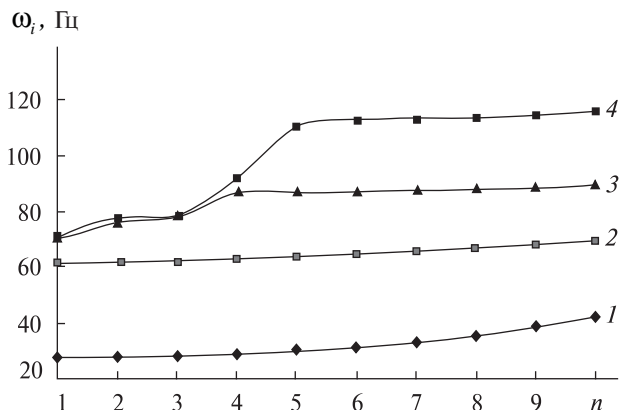


Рис. 2. Графики собственных частот колебаний конструкций: 1 — оболочка без ребер; 2, 3, 4 — оболочки с тремя, пятью, семью ребрами соответственно

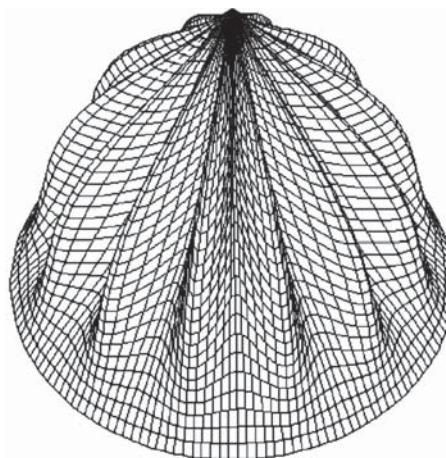


Рис. 3. Форма потери динамической устойчивости конической оболочки с семью ребрами

зовом потоке. В качестве примера на рис. 3 представлена форма потери динамической устойчивости конической оболочки с семью ребрами.

ОБСУЖДЕНИЕ И ВЫВОДЫ

Исследуется динамическая неустойчивость параболических и конических обтекателей ракет-носителей. Анализируются конструкции без усиления и конструкции со шпангоутами. Исследуются области динамической неустойчивости конструкций.

В дальнейшем нами будут исследоваться нелинейные колебания обтекателей ракет-носителей. В области динамической неустойчивости

амплитуды колебаний конструкции на начальных интервалах времени растут. При амплитудах колебаний порядка толщины оболочки конструкция ведет себя геометрически нелинейно [10, 12]. Вследствие геометрической нелинейности амплитуды колебаний конструкции ограничиваются, и в системе возникает предельный цикл (автоколебания). Такие движения будут предметом дальнейших исследований.

Работа выполнена при поддержке Целевой комплексной программы НАН Украины по научным космическим исследованиям на 2012–2016 гг.

1. Аврамов К. В. К аэроупругому взаимодействию пластин с трехмерным, безвихревым, идеальным газовым потоком // Доп. НАН України. — 2013. — № 9. — С. 57–63.
2. Аврамов К. В., Михлин Ю. В. Нелинейная динамика упругих систем. — М. — Ижевск: НИЦ «Регулярная и хаотическая динамика», 2010. — 704 с.
3. Аврамов К. В., Морачковский О. К., Тонконоженко А. М. и др. Полуаналитический метод конечных элементов для расчета напряженно-деформируемого состояния цилиндрических оболочек с продольными ребрами // Пробл. машиностр. — 2014. — 17. — С. 34–43.
4. Аврамов К. В., Морачковский О. К., Тонконоженко А. М., Кожарин В. Ю. Численный анализ разрушающих нагрузок орбренных баков ракетополетителей // Авиаци.-космич. техн. и технол. — 2014. — № 5(112). — С. 40–47.
5. Бочкарев С. А., Матвеев В. П. Панельный флаттер вращающихся круговых оболочек, обтекаемых сверхзвуковым потоком // Вычисл. мех. сплош. сред. — 2008. — № 3. — С. 25–33.
6. Чернобрышко М. В., Аврамов К. В. Собственные колебания параболических оболочек // Мат. методы и физ.-мех. поля. — 2014. — 4. — Р. 18–20.
7. Чернобрышко М. В., Аврамов К. В., Батутина Т. Я. и др. Динамическая неустойчивость обтекателей ракетополетителей в полете // Пробл. машиностр. — 2014. — 17. — С. 9–16.
8. Avramov K. V., Pierre C., Shyriaieva N. Flexural-flexural-torsional nonlinear vibrations of pre-twisted rotating beams with asymmetric cross-sections // J. Vibrat. and Contr. — 2007. — 13. — Р. 329–364.
9. Avramov K. V., Strel'nikova E. A., Pierre C. Resonant many-mode periodic and chaotic self-sustained aeroelas-

tic vibrations of cantilever plates with geometrical nonlinearities in incompressible flow // Nonlin. Dyn. — 2012. — 70. — Р. 1335–1354.

10. Breslavsky I. D., Strel'nikova E. A., Avramov K. V. Dynamics of Shallow Shells with Geometrical Nonlinearity Interacting with Fluid // Comput. and Struct. — 2011. — 89. — Р. 496–506.
11. Chernobryvko M. V., Avramov K. V., Romanenko V. N., et al. Free linear vibrations of parabolic shells // Meccanica. — 2014. — 49. — Р. 14–21.
12. Kochurov R., Avramov K. V. On effect of initial imperfections on parametric vibrations of cylindrical shells with geometrical non-linearity // Int. J. Solids and Struct. — 2012. — 49. — Р. 537–545.

Стаття надійшла до редакції 10.12.2014

К. В. Аврамов¹, М. В. Чернобрышко¹, Т. Я. Батутина², П. Г. Дегтяренко², А. М. Тонконоженко²

¹ Інститут проблем машинобудування ім. А. М. Підгорного Національної академії наук України, Харків

² Державне підприємство «Конструкторське бюро «Південне» ім. М. К. Янгеля», Дніпропетровськ

ДИНАМІЧНА НЕСТІЙКІСТЬ ОБТІЧНИКІВ РАКЕТ

Розглядаються аеропружні коливання обтічників ракетносіів, які є параболическими або конічними оболонками. Такі оболонки посилюються зсередини стрингерами і шпангоутами. Досліджується динамічна нестійкість таких конструкцій в надзвуковому газовому потоці, який описується поршневою теорією.

Ключові слова: коливання обтічника, конічна оболонка зі шпангоутами, надзвуковий газовий потік, просторова форма втрати стійкості.

К. В. Avramov¹, М. В. Chernobryvko¹, Т. Я. Batutina², П. Г. Degtyarenko², А. М. Tonkonozhenko²

¹ A. N. Podgorny Institute for Mechanical Engineering Problems of the National Academy of Sciences of Ukraine, Kharkiv

² Yuzhnoye State Design Office, Dnipropetrovsk

DYNAMIC INSTABILITY OF ROCKETS FAIRINGS

Aeroelastic vibrations of rockets fairing, which are parabolic or conic shells, are considered. These shells are faded-in by stringers and rings. The dynamic instability of such structures in supersonic gas stream is analyzed.

Key words: vibrations of rocket deflector, ring-stiffened conical shells, supersonic gas stream, shell space mode.